

УДК 629.017

**З. Э. ЗАБЕЛЬШИНСКИЙ**, инженер, Харьковский тракторный завод им. С. Орджоникидзе;

**М. А. ПОДРИГАЛО**, д-р техн. наук, проф., ХНАДУ, Харьков;

**Е. А. ДУБИНИН**, канд. техн. наук, доц., ХНАДУ, Харьков

## ОЦЕНКА УСТОЙЧИВОСТИ ШАРНИРНО-СОЧЛЕНЕННОГО КОЛЕСНОГО ТРАКТОРА И ТРАКТОРНОГО ПОЕЗДА В РАЗЛИЧНЫХ ДОРОЖНЫХ УСЛОВИЯХ

Получены аналитические выражения для коэффициента устойчивости шарнирно-сочлененного колесного трактора и тракторного поезда при повороте, которые позволяют оценить устойчивость против заноса при различном распределении крутящих моментов между мостами. Проведено математическое моделирование устойчивости против заноса шарнирно-сочлененного трактора с номинальным тяговым усилием 35 кН и тракторного поезда на его базе в различных дорожных условиях. Полученные результаты могут быть использованы при проектировании новых и модернизации находящихся в эксплуатации колесных машин.

**Ключевые слова:** колесный трактор, тракторный поезд, шарнирно-сочлененный, устойчивость, дорожные условия.

**Введение.** Распределение крутящих моментов между мостами оказывает существенное влияние на устойчивость колесных тракторов и тракторных поездов. Это относится к устойчивости против складывания и опрокидывания тракторных поездов и секций тракторов с шарнирно-сочлененными рамами. Оценку устойчивости шарнирно-сочлененного трактора при повороте в тяговом режиме движения при различном распределении крутящих моментов между передними и задними колесами возможно провести с использованием коэффициента устойчивости тракторного поезда против складывания.

**Анализ последних достижений и публикаций.** Динамика тракторных поездов и шарнирно-сочлененных колесных тракторов исследовалась различными авторами как в тяговом [1-4], так и в тормозном [5, 6] режимах. В работах [7-9] установлено, что колесо, нагруженное касательной реакцией дороги, по мере увеличения последней теряет способность воспринимать боковую силу.

Для оценки устойчивости колесных машин против заноса в работе [10] предложен коэффициент устойчивости, представляющий собой отношение момента стабилизирующего к моменту, возмущающему занос

$$K_{ycm} = \frac{M_{стаб}}{M_{возм}} = \frac{b \cdot R_{\delta_2}}{a \cdot R_{\delta_1}}, \quad (1)$$

где  $M_{возм}$  и  $M_{стаб}$  – моменты, возмущающий и стабилизирующий занос, соответственно;

$a, b$  – расстояния от передней и задней осей колесной машины до проекции центра масс на горизонтальную плоскость;

$R_{\delta_1}$  и  $R_{\delta_2}$  – суммарные боковые реакции дороги на колесах передней и задней осей колесной машины.

При этом в известных исследованиях не определено влияние распределения тяговой силы между осями шарнирно-сочлененного трактора на устойчивость тракторного поезда против заноса (складывания) при повороте. Наиболее важным с точки зрения обеспечения безопасности движения является сохранение устойчивости тракторного поезда против заноса, который в дальнейшем может привести к потере устойчивости положения.

**Цель исследования, постановка задачи.** Целью исследования является обеспечение устойчивости шарнирно-сочлененного трактора и тракторного поезда на повороте при различном распределении крутящих моментов между мостами путем совершенствования методов ее оценки.

Для достижения указанной цели необходимо решить следующие задачи:

- определить коэффициент устойчивости шарнирно-сочлененного колесного трактора и тракторного поезда при повороте;
- провести оценку устойчивости шарнирно-сочлененного трактора с номинальным тяговым усилием 35 кН и тракторного поезда.

**Материалы исследований.** Рассмотрим движение тракторного поезда и выполним оценку устойчивости против заноса (складывания) по критерию коэффициента устойчивости  $K_{yct}$ . Рассмотрим общий случай возможного заноса заднего моста, при котором все мосты шарнирно-сочлененного трактора являются ведущими. На рис. 1а и рис. 1б приведены схемы сил, действующих на тракторный поезд при использовании как одноосного, так и двухосного прицепов (их действие выражается составляющими крюкового усилия  $P_{kpx}$  и  $P_{kpz}$ , приложенными в точке сцепки).

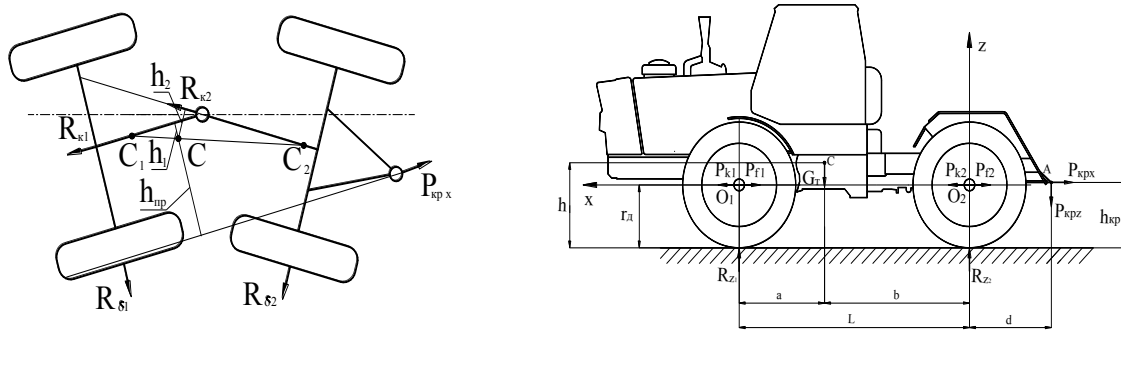


Рисунок 1 – Схема сил, действующих на тракторный поезд при всех ведущих мостах шарнирно-сочлененного трактора, при повороте  
а – одноосный прицеп; б – двухосный прицеп

Рассмотрим момент движения, когда секции сложились на максимальный угол  $\delta$ , а прицеп еще не успел изменить свою траекторию относительно начального (прямолинейного) движения. Принимаем, что скорость движения трактора  $V = const$  при повороте не превышает 2,8 м/с, поэтому действием центробежных сил инерции можно пренебречь. При повороте с постоянным минимальным радиусом движение

секций осуществляется вокруг одного центра поворота [11]. При этом общий центр масс трактора  $C$  находится на линии, соединяющей центры масс передней  $C_1$  и задней  $C_2$  секций. Расстояния между этими точками можно найти по известной зависимости для определения центра массы тела, состоящего из двух элементов

$$\frac{|C_1C|}{|CC_2|} = \frac{m_2}{m_1}, \quad (2)$$

где  $m_1$  – масса передней секции шарнирно-сочлененного трактора;

$m_2$  – масса задней секции шарнирно-сочлененного трактора.

При складывании тракторного поезда в составе шарнирно-сочлененного трактора и прицепа возмущающий момент создаётся суммой моментов от предельной по сцеплению боковой реакции дороги на колесах передней оси трактора  $R_{\delta_1}$ , силы сопротивления движению прицепа  $P_{kp_x}$ , суммарных касательных реакций дороги на колесах передней  $R_{\kappa_1}$  и задней  $R_{\kappa_2}$  осей трактора

$$M_{\text{возд}} = R_{\delta_1} \cdot a + R_{\kappa_1} \cdot h_1 + R_{\kappa_2} \cdot h_2 + P_{kp_x} \cdot h_{np}, \quad (3)$$

где  $h_1, h_2, h_{np}$  – расстояния от центра масс трактора до линий действия соответствующих сил (рис. 1а);

$P_{kp_x}$  – горизонтальная составляющая крюкового усилия.

В рассматриваемом случае движения эта составляющая определяется как

$$P_{kp_x} = f \cdot m_{np} \cdot g, \quad (4)$$

где  $m_{np}$  – масса прицепа.

Расстояния  $a$  и  $b$  приняты в качестве плеч соответствующих сил для упрощения математической модели, исходя из того, что для реальной конструкции на примере шарнирно-сочлененного трактора с номинальным тяговым усилием 35 кН погрешность составит не более 10%.

Стабилизирующий момент формируется за счёт момента от предельной по сцеплению боковой реакции дороги на задней оси трактора

$$M_{\text{стаб}} = R_{\delta_2} \cdot b, \quad (5)$$

где  $R_{\delta_2}$  – суммарная боковая сила на задней оси шарнирно-сочлененного трактора.

Коэффициент устойчивости тракторного поезда в этом случае

$$K_{ycm} = \frac{M_{\text{стаб}}}{M_{\text{возд}}} = \frac{R_{\delta_2} \cdot b}{R_{\delta_1} \cdot a + R_{\kappa_1} \cdot h_1 + R_{\kappa_2} \cdot h_2 + P_{kp_x} \cdot h_{np}}. \quad (6)$$

При  $K_{y_{cm}} \geq 1$  движение тракторного поезда устойчиво, а при  $K_{y_{cm}} < 1$  – неустойчиво.

Предельные боковые реакции на колёсах трактора могут быть определены с помощью круга Камма [7-9]

$$R_{\delta_1} = \sqrt{\varphi^2 \cdot R_{Z_1}^2 - R_{K_1}^2}; \quad (7)$$

$$R_{\delta_2} = \sqrt{\varphi^2 \cdot R_{Z_2}^2 - R_{K_2}^2}, \quad (8)$$

где  $R_{Z_1}$ ,  $R_{Z_2}$  – суммарные нормальные реакции дороги на колесах передней и задней осей трактора;

$\varphi$  – коэффициент сцепления колес с дорогой.

В случае движения с небольшими скоростями  $\varphi = const$  для различных дорожных условий [12].

В тяговом режиме движения тракторного поезда

$$R_{K_1} = K_M \cdot P_K - R_{Z_1} \cdot f; \quad (9)$$

$$R_{K_2} = (1 - K_M) \cdot P_K - R_{Z_2} \cdot f, \quad (10)$$

где  $P_K$  – суммарная тяговая сила трактора;

$f$  – коэффициент сопротивления качению;

$K_M$  – коэффициент распределения общего крутящего момента на переднюю ось

$$K_M = \frac{M_{K_1}}{M_{K_1} + M_{K_2}}, \quad (11)$$

$M_{K_1}$ ,  $M_{K_2}$  – суммарные крутящие моменты на колесах передней и задней осей.

Тяговая сила на ведущих колесах определялась по следующей зависимости

$$P_K = f \cdot g \cdot (m_T + m_{np}) = \frac{\eta_{mp} \cdot K_N \cdot N_e}{V} \leq \varphi_x \cdot g \cdot (m_T + m_{np}), \quad (12)$$

где  $m_T$  – масса трактора;

$N_e$  – номинальная мощность двигателя;

$K_N$  – коэффициент использования мощности двигателя;

$\eta_{mp}$  – КПД трансмиссии трактора;

$V$  – скорость движения трактора (тракторного поезда).

Суммарные нормальные реакции на колесах передней и задней осей трактора определены по зависимостям, полученным в работе [4]

$$R_{z1} = G_T \cdot \frac{b}{L} - P_{kp_x} \cdot \frac{h_{kp} - r_{\delta 2}}{L} - P_{kp_z} \cdot \frac{d}{L}; \quad (13)$$

$$R_{z2} = G_T \cdot \frac{a}{L} + P_{kp_x} \cdot \frac{h_{kp} - r_{\delta 1}}{L} + P_{kp_z} \cdot \left(1 + \frac{d}{L}\right), \quad (14)$$

где  $G_T$  – общий вес трактора;

$L$  – база трактора;

$h_{kp}$  – высота расположения точки присоединения прицепа к трактору над опорной поверхностью;

$r_{\delta 1}, r_{\delta 2}$  – динамические радиусы передних и задних ведущих колес трактора (принимаем  $r_{\delta} = r_{\delta 1} = r_{\delta 2}$ );

$d$  – расстояние от оси задних колес трактора до нормали, опущенной из точки присоединения прицепа к трактору на опорную поверхность.

После подстановки соотношений (9) и (10) в выражения (7) и (8), последние примут вид

$$R_{\delta_1} = \sqrt{\varphi^2 \cdot R_{Z_1}^2 - (K_M \cdot P_K - f \cdot R_{Z_1})^2}; \quad (15)$$

$$R_{\delta_2} = \sqrt{\varphi^2 \cdot R_{Z_2}^2 - [(1 - K_M) \cdot P_K - f \cdot R_{Z_2}]^2}. \quad (16)$$

Выражение (6) с учётом (9), (10) примет следующий вид:

$$K_{ycm} = \frac{\sqrt{\varphi^2 \cdot R_{Z_2}^2 - [(1 - K_M) \cdot P_K - f \cdot R_{Z_2}]^2} \cdot b}{\sqrt{\varphi^2 \cdot R_{Z_1}^2 - (K_M \cdot P_K - f \cdot R_{Z_1})^2} \cdot a + (K_M \cdot P_K - R_{Z_1} \cdot f) \cdot h_1 + ((1 - K_M) \cdot P_K - R_{Z_2} \cdot f) \cdot h_2 + P_{kp_x} \cdot h_{np}}. \quad (17)$$

При одном заднем ведущем мосту величина  $K_M = 0$  и выражение (17) примет следующий вид:

$$K_{ycm} = \frac{\sqrt{\varphi^2 \cdot R_{Z_2}^2 - (P_K - f \cdot R_{Z_2})^2} \cdot b}{\sqrt{\varphi^2 \cdot R_{Z_1}^2 - (f \cdot R_{Z_1})^2} \cdot a - R_{Z_1} \cdot f \cdot h_1 + (P_K - R_{Z_2} \cdot f) \cdot h_2 + P_{kp_x} \cdot h_{np}}. \quad (18)$$

При одном переднем ведущем мосту трактора  $K_M = 1$ . В этом случае

$$K_{ycm} = \frac{\sqrt{\varphi^2 \cdot R_{Z_2}^2 - (f \cdot R_{Z_2})^2} \cdot b}{\sqrt{\varphi^2 \cdot R_{Z_1}^2 - (P_K - f \cdot R_{Z_1})^2} \cdot a + (P_K - R_{Z_1} \cdot f) \cdot h_1 - R_{Z_2} \cdot f \cdot h_2 + P_{kp_x} \cdot h_{np}}. \quad (19)$$

Полученные аналитические выражения для коэффициента устойчивости тракторного поезда с шарнирно-сочлененным трактором позволяют оценить устойчивость последнего против заноса при повороте не только при включении одного из ведущих мостов (переднего или заднего) трактора, но и при обоих включенных мостах с различным коэффициентом распределения крутящих моментов  $K_M$  между мостами. Коэффициенты устойчивости для шарнирно-сочлененного трактора без прицепа получаются из (17)-(19) при  $P_{kp_x} = 0$ ,  $P_{kp_z} = 0$ .

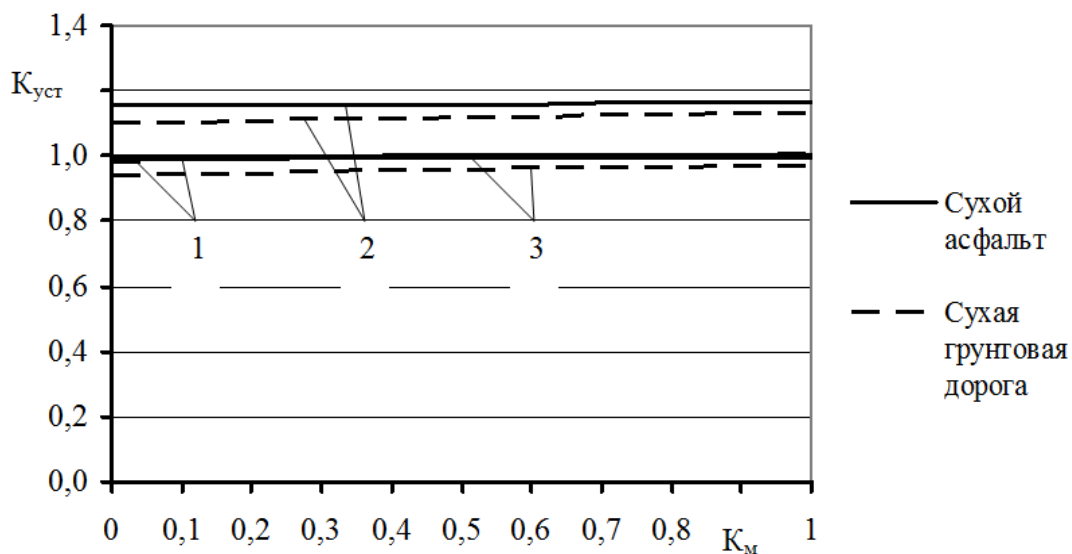
Проведем оценку устойчивости тракторного поезда на базе шарниро-сочлененного трактора с номинальным тяговым усилием 35 кН и прицепов (одноосного и двухосного) при следующих данных:  $h_1=0,12$  м,  $h_2=0,33$  м,  $h_{np}=1,1$  м,  $m_{np}=3000$  кг,  $P_{kpz\ 2osn}=100$  Н,  $P_{kpz\ 1osn}=3500$  Н,  $V=2,8$  м/с,  $\eta_{mp}=0,9$ . Исходные для расчёта данные трактора приведены в таблице 1.

Таблица 1 – Параметры шарниро-сочлененного трактора

| Параметр   | Значение   |      |
|--|------------|------|
| Общая масса трактора $m_T$ , кг                              | 8980       |      |
| Номинальная мощность двигателя $N_e$ , кВт                   | 176        |      |
| Продольная колесная база $L$ , мм                            | 2860       |      |
| Координаты центра масс трактора, мм                          | $a$        | 1060 |
|  | $b$        | 1800 |
| Динамический радиус колеса (принимаем равным свободному), мм | $r_\delta$ | 800  |
| Координаты точки соединения с прицепом, мм                   | $d$        | 1017 |
|  | $h_{kp}$   | 495  |
| Максимальный угол складывания полурам, град                  | $\delta$   | 30   |

Расчёт показателей устойчивости шарниро-сочлененного трактора с номинальным тяговым усилием 35 кН и тракторного поезда осуществлялся по формуле (17), где  $K_M = 0 \dots 1$ , при различных состояниях дорожного покрытия.

Результаты математического моделирования устойчивости шарниро-сочлененного трактора с номинальным тяговым усилием 35 кН и тракторного поезда показаны на рис. 2. Шарниро-сочлененный трактор и тракторный поезд устойчивы при условии  $K_{y_{cm}} \geq 1$ .



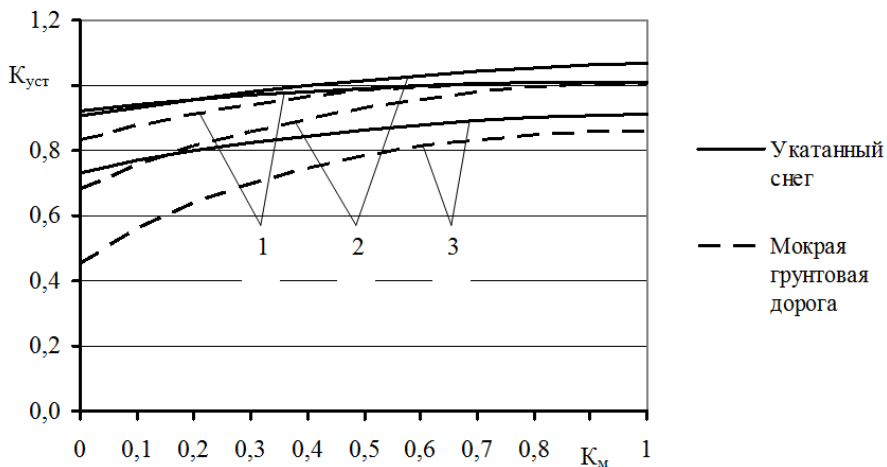


Рисунок 2 – Залежності коєфіцієнта устійчивості  $K_{y\text{ст}}$  шарнирно-сочлененого трактора і тракторного поезда від коєфіцієнта розподілення общого крутячого моменту  $K_M$  в різних дорожніх умовах (1 – без прицепа, 2 – з одноосним прицепом, 3 – з двухосним прицепом)

Ісходя з результатів проведеного дослідження можна зробити висновок про те, що на сухому асфальті та сухій ґрунтовій дорозі тип привода не має значення. На мокрій ґрунтовій дорозі та укатаному снегу при  $K_M = 1$  величина  $K_{y\text{ст}}$  має більші значення, ніж при  $K_M = 0$ . Це означає, що шарнирно-сочленений трактор та тракторний поїзд, які мають лише передній водіючий міст більш устійчиві, ніж випадок одного заднього водіючого моста.

**Выводы.** Полученные аналитические выражения для коэффициента устойчивости шарнирно-сочлененного колесного трактора и тракторного поезда при повороте позволяют оценивать их устойчивость против заноса при различном распределении крутящих моментов между мостами. Анализ зависимостей коэффициента устойчивости  $K_{y\text{ст}}$  шарнирно-сочлененного трактора и тракторного поезда от коэффициента распределения общего крутящего момента  $K_M$  при повороте в различных дорожных условиях показал: на сухом асфальте и сухой грунтовой дороге тип привода не имеет существенного значения; для укатанного снега и мокрой грунтовой дороги при включении только одного переднего водиущего моста трактора обеспечиваются более высокие значения  $K_{y\text{ст}}$ , чем при включении только одного заднего водиущего моста. При включении двух водиущих мостов  $K_{y\text{ст}}$  больше, чем при включении одного заднего водиущего моста, но меньше, чем при включении одного переднего водиущего моста. Для шарнирно-сочлененного трактора с名义альным тяговым усилием 35 кН и тракторного поезда при повороте при включении только одного переднего водиущего моста  $K_{y\text{ст}} > 1$  для всех рассмотренных дорожных условий, кроме движения с двухосным прицепом. Для движения по мокрой грунтовой дороге с одноосным прицепом необходимо распределение  $K_M \geq 0,8$ , а для движения по грунтовой дороге и укатанному снегу с двухосным прицепом – балластирование задней секции трактора.

**Список литератури:** 1. Ясеневич В.Е. Исследование тракторного поезда, прицеп которого имеет ведущую ось / В.Е. Ясеневич // Исследование работы тракторного поезда в сельскохозяйственном производстве. Труды НАТИ. – 1964. – №175. – С. 3-44.

- 2.** Богдан Н.В. Определение реакций на осях тракторного поезда / Н.В. Богдан, Г.П. Грибко, И.С. Раклей // Автотракторостроение. – Минск: Высшая школа. – 1977. – Вып. 9. – С. 85-91. **3.** Забельшинский З.Э. Курсовая устойчивость тракторного поезда при различном распределении крутящих моментов между мостами / З.Э. Забельшинский, В.В. Кириченко, Д.М. Клец, М.А. Подригало // Механізація сільськогосподарського виробництва та переробки сільськогосподарської продукції. Вісник ХНТУСГ ім. П.Василенка. Технічні науки. – 2010. – Вип. 103. – С. 217-227. **4.** Забельшинский З.Э. Влияние распределения нормальных реакций между осями колесного трактора на его эксплуатационные свойства / З.Э. Забельшинский, М.А. Подригало, Е.А. Дубинин // Вісник НТУ «ХПІ». Серія: Автомобіль- та тракторобудування. – Х.: НТУ «ХПІ», 2014. – № 9 (1052). – С. 18-26. **5.** Парфенов А.П. Исследование динамики торможения тракторного поезда / А.П. Парфенов, В.Е. Ясеневич // Исследование работы тракторного поезда в сельскохозяйственном производстве. Труды НАТИ. – 1964. – №175. – С. 71-105. **6.** Рашидов Н.Р. Торможение многозвенных тракторных поездов / Н.Р. Рашидов. – Ташкент: Фан. – 1978. – 88 с. **7.** Чудаков Е.А. Устойчивость автомобиля против заноса / Е.А Чудаков. – М.: Машгиз, 1949. – 193 с. **8.** Чудаков Е.А. Устойчивость автомобилей при заносе / Е.А. Чудаков. – М.: Изд-во АН СССР. – 1945. – 144 с. **9.** Певзнер Я.М. Теория устойчивости автомобиля / Я.М. Певзнер. – М.: Машгиз. – 1947. – 156 с. **10.** Динамика автомобиля / [Подригало М.А., Волков В.П., Бобошко А.А., Павленко В.А., Файст В.Л., Клец Д.М., Ред'ко В.В.]; под ред. М.А. Подригало. – Х.: Изд-во ХНАДУ. – 2007. – 424 с. **11.** Боклаг В.М. Анализ общей устойчивости шарнирно-сочленённых колесных машин: дисс. на соиск. степени канд. техн. наук / В.М. Боклаг. – Харьков, 1964. – 200 с. **12.** Автомобильный справочник Bosch / [пер. с англ. Г.С. Дугин]. – М.: За рулем. – 1999. – 895 с.

**Bibliography (transliterated):** **1.** Yasenevich V.E. Issledovanie traktornogo poezda, pritsep kotorogo imet vedushchuyu os'. Issledovanie raboty traktornogo poezda v sel'skokhozyaystvennom proizvodstve. Trudy NATI, 1964, No175, pp. 3-44. **2.** Bogdan N.V., Gribko G.P., Rakley I.S. Opredelenie reaktsiy na osyakh traktornogo poezda. Avtotraktorostroenie. Minsk: Vysshaya shkola, 1977, Vol. 9, pp. 85-91. **3.** Zabelyshinsky Z.E., Kirichenko V.V., Klets D.M., Podrigalo M.A. Kursovaya ustoychivost' traktornogo poezda pri razlichnom raspredelenii krutyashchikh momentov mezhdu mostami. Mekhanizatsiya sil's'kohospodars'koho vyrobnytstva ta pererobky sil's'kohospodars'koyi produktsiyi. Visnyk KhNTUS·H im. P. Vasylenga. Tekhnichni nauky, 2010, Vol. 103. pp. 217-227. **4.** Zabelyshinsky Z.E., Podrigalo M.A., Dubinin E.A. Vliyanie raspredeleniya normal'nykh reaktsiy mezhdu osyami kolesnogo traktora na ego ekspluatatsionnye svoystva. Visnyk NTU «KhPI». Seriya: Avtomobile- ta traktorobuduvannya. – Kharkov.: NTU «KhPI», 2014, No9 (1052), pp. 18-26. **5.** Parfenov A.P., Yasenevich V.E. Issledovanie dinamiki tormozheniya traktornogo poezda. Issledovanie raboty traktornogo poezda v sel'skokhozyaystvennom proizvodstve. Trudy NATI, 1964, No175, pp. 71-105. **6.** Rashidov N.R. Tormozhenie mnogozvennykh traktornykh poezdov. Tashkent: Fan, 1978, 88 p. **7.** Chudakov E.A. Ustoychivost' avtomobilya protiv zanosa. Moscow: Mashgiz, 1949, 193 p. **8.** Chudakov E.A. Ustoychivost' avtomobiley pri zanose. Moscow: Izd-vo AN SSSR, 1945, 144 p. **9.** Pevzner Ya.M. Teoriya ustoychivosti avtomobilya. Moscow: Mashgiz, 1947, 156 p. **10.** Dinamika avtomobilya / [Podrigalo M.A., Volkov V.P., Boboshko A.A., Pavlenko V.A., Fayst V.L., Klets D.M., Red'ko V.V.]; pod red. M.A. Podrigalo. Kh.: Izd-vo KhNADU, 2007, 424 p. **11.** Boklag V.M. Analiz obshchey ustoychivosti sharnirno-sochlenennykh kolesnykh mashin: diss. na soisk. stepeni kand. tekhn. nauk. Khar'kov, 1964, 200 p. **12.** Avtomobil'nyy spravochnik Bosch / [per. s angl. G.S. Dugin]. – Moscow: Za rulem, 1999, 895 p.

Поступила (received) 27.01.15